

Adaptive identification method for system response estimation

Publication number: FR2738695

Publication date: 1997-03-14

Inventor: SCALART PASCAL; DUHAMEL PIERRE; BENAMAR ABDELKRIM

Applicant: FRANCE TELECOM (FR)

Classification:

- international: **H04B3/23; H04M9/08; H04R29/00; H04S7/00; H04B3/23; H04M9/08; H04R29/00; H04S7/00; (IPC1-7): H04B7/015; H04B7/26**

- European: **H04M9/08D; H04B3/23; H04M9/08C; H04S7/00E6**

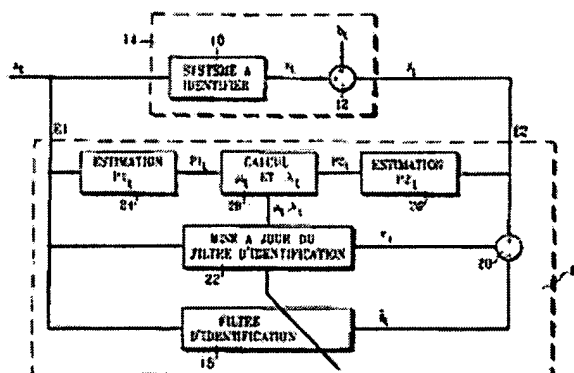
Application number: FR19950010714 19950913

Priority number(s): FR19950010714 19950913

Report a data error here

Abstract of **FR2738695**

The method involves comparison of an input signal (x_t) with an observation signal (y_t) to produce an error signal (e_t). The error signal is fed to an FIR identification filter (18) with a response which represents the system response. The coefficients of the identification filter are adapted according to the input signal, the error signal and an adaptive step for filter coefficient adjustment. The value of the adaptive step (μ) is determined by the expression $\mu = a/(c+d \cdot P_{2t}/P_{1t})$ where a and c are constants, P_{1t} is the estimated input power, P_{2t} is the estimated observation signal at a given instant or a component of interference in the observation signal.



Data supplied from the **esp@cenet** database - Worldwide



BREVET D'INVENTION

CERTIFICAT D'UTILITE - CERTIFICAT D'ADDITION

Code de la propriété intellectuelle-Livres VI

DECISION DE DELIVRANCE

Le Directeur général de l'Institut national de la propriété industrielle décide que le brevet d'invention n° 95 10714 dont le texte est ci-annexé est délivré à:
FRANCE TELECOM ETABLISSEMENT PUBLIC — FR.

La délivrance produit ses effets pour une période de vingt ans à compter de la date de dépôt de la demande, sous réserve du paiement des redevances annuelles.

Mention de la délivrance sera faite au Bulletin Officiel de la propriété industrielle n° 97/46 du 14.11.97 (n° de publication 2 738 695).

Fait à Paris, le 14.11.97

Le Directeur général de l'Institut
national de la propriété industrielle

D. HANGARD

INSTITUT
NATIONAL DE
LA PROPRIÉTÉ
INDUSTRIELLE

SIEGE

26 bis, rue de Saint Petersburg
75800 PARIS cedex 08
Téléphone : 01 53 04 53 04
Télécopie : 01 42 93 59 30

4/02420

①9 RÉPUBLIQUE FRANÇAISE
INSTITUT NATIONAL
DE LA PROPRIÉTÉ INDUSTRIELLE
PARIS

①1 N° de publication : **2 738 695**
(à n'utiliser que pour les
commandes de reproduction)

②1 N° d'enregistrement national : **95 10714**

⑤1 Int Cl⁸ : H 04 B 7/015, H 04 B 7/26

⑫

BREVET D'INVENTION

B1

⑤4 PROCÉDE ET DISPOSITIF D'IDENTIFICATION ADAPTATIVE ET ANNULEUR D'ECHO ADAPTATIF INCLUANT UN TEL DISPOSITIF

②2 Date de dépôt : 13.09.95.

③0 Priorité :

④3 Date de la mise à disposition du public de la demande : 14.03.97 Bulletin 97/11.

④5 Date de la mise à disposition du public du brevet d'invention : 14.11.97 Bulletin 97/46.

⑤6 Liste des documents cités dans le rapport de recherche :

Se reporter à la fin du présent fascicule

⑥0 Références à d'autres documents nationaux apparentés :

⑦1 Demandeur(s) : FRANCE TELECOM ETABLISSEMENT PUBLIC — FR.

⑦2 Inventeur(s) : SCALART PASCAL, DUHAMEL PIERRE et BENAMAR ABDELKRIM.

⑦3 Titulaire(s) :

⑦4 Mandataire(s) : CABINET PLASSERAUD.

FR 2 738 695 - B1



**PROCEDE ET DISPOSITIF D'IDENTIFICATION ADAPTATIVE
ET ANNULEUR D'ECHO ADAPTATIF INCLUANT UN TEL
DISPOSITIF**

5

La présente invention concerne un procédé et un dispositif d'identification adaptative de système et leur application, entre autres, dans un annuleur d'écho adaptatif.

10 L'essor actuel des télécommunications dans le domaine du grand public, et plus particulièrement des radiocommunications avec les mobiles, amènent les concepteurs de ces systèmes à mettre en oeuvre des solutions techniques optimales en termes de confort d'utilisation.

15 Dans ce sens, les équipes industrielles de Recherche et de Développement sont fréquemment confrontées à des problèmes d'identification adaptative de systèmes. Parmi ces problèmes, on peut citer, dans le cadre des radiocommunications avec les mobiles, la problématique liée à l'égalisation des canaux de propagation et à l'annulation
20 d'écho acoustique pour la radiotéléphonie mains-libres.

Ces problèmes d'identification de systèmes sont souvent résolus par l'utilisation de techniques de traitement du signal intégrant des procédés d'identification adaptative. Mais jusqu'à présent, aucun de ces dispositifs ne permet de
25 s'ajuster automatiquement aux conditions de bruit environnant.

L'utilisation de telles techniques adaptatives d'identification de systèmes présente un inconvénient majeur qui réside dans la forte corrélation entre les performances
30 atteintes et le choix des paramètres de contrôle leur étant associés. Ce choix est d'autant plus critique lorsque l'environnement d'utilisation de ces dispositifs évolue au cours du temps, comme cela peut être le cas, par exemple, pour l'annulation d'écho acoustique dans le contexte des
35 radiocommunications avec les mobiles.

Ces dispositifs mettent en oeuvre des algorithmes

d'identification qui sont caractérisés dans leur forme temporelle par les équations générales suivantes (voir S. Haykin, "Adaptive Filter Theory", Englewood Cliffs, N.J. Prentice-Hall, 1991) :

$$e_t = y_t - \langle H_{L,t-1}, x_{L,t} \rangle \quad (1)$$

$$H_{L,t} = H_{L,t-1} + \mu_t \cdot f(x_{L,t} ; e_t ; \lambda_t) \quad (2)$$

où $\langle \dots \rangle$ représente le produit scalaire entre deux vecteurs, $H_{L,t}$ est un vecteur représentant la réponse impulsionnelle du filtre d'identification de taille L à l'instant t , μ_t est un pas d'adaptation normalisé, $x_{L,t} = (x_t, x_{t-1}, \dots, x_{t-L+1})$ est le vecteur constitué des L derniers échantillons du signal d'entrée x_t , y_t est l'échantillon courant du signal d'observation, e_t est l'erreur de filtrage a priori, λ_t est un facteur d'oubli, et $f(\cdot)$ est la fonction permettant de distinguer ces différents algorithmes. Notons que le facteur d'oubli permet d'estimer des coefficients de corrélation lissés dans le temps, ces coefficients étant inhérents aux algorithmes d'identification. L'algorithme NLMS (Normalized Least Mean Squares, voir l'ouvrage précité de S. Haykin), par exemple, est caractérisé par les équations suivantes :

$$e_t = y_t - \langle H_{L,t-1}, x_{L,t} \rangle \quad (1)$$

$$H_{L,t} = H_{L,t-1} + \mu_t \cdot \frac{e_t \cdot x_{L,t}}{\|x_{L,t}\|^2} \quad (2bis)$$

où $\|\cdot\|^2$ représente le carré de la norme d'un vecteur.

Cette formulation ((1) et (2)) fait référence à un algorithme temporel, mais on note que la méthode présentée ici est aussi valable pour les algorithmes fréquentiels.

En outre, certains algorithmes utilisent un pas d'adaptation et/ou un facteur d'oubli. Ainsi, les

algorithmes des Moindres Carrés Récursifs Rapides (MCRR) (voir l'ouvrage précité de S. Haykin) utilisent uniquement un facteur d'oubli, tandis que les algorithmes de type gradient (voir l'ouvrage précité de S. Haykin) et de projection (voir l'article de K. Ozeki et T. Umeda, "An Adaptive Algorithm Using an Orthogonal Projection to an Affine Subspace and Its Properties", Electronics and Communications in Japan, vol. 67-A, n°5, pp.19-27, 1984) utilisent un pas d'adaptation et parfois un facteur d'oubli.

Comme évoqué précédemment, les performances de ces algorithmes (vitesse de convergence, capacité de poursuite des non-stationnarités, désajustement après convergence) sont intimement liées au choix des grandeurs λ_t et μ_t . Celles-ci sont ajustées, en général, en fonction de la nature des signaux traités et du niveau du bruit d'observation caractéristique de l'application souhaitée. Ainsi, dans le cas de signaux très bruités, il est conseillé de prendre un pas d'adaptation très proche de 0 et un facteur d'oubli très proche de 1 afin d'accroître la robustesse au bruit de ces algorithmes. Par contre, dans le cas de signaux faiblement bruités, un pas d'adaptation proche de 1 permet d'obtenir un plus grande rapidité de convergence de l'algorithme d'identification vers la solution optimale.

Plus généralement, dans les applications où le niveau de bruit varie au cours du temps (cas de figure couramment rencontré en pratique), le réglage de ces paramètres devient délicat et il est souvent réalisé en considérant les conditions les plus adverses. Ainsi, dans le cadre de l'annulation d'écho acoustique pour les radiotéléphones mains-libres, ces grandeurs sont ajustées de façon à obtenir un comportement satisfaisant dans des conditions difficiles (vitesse importante, vitres ouvertes, ...). Il est, cependant, important de noter que ces réglages limitent les performances des algorithmes en question lorsque l'on se place dans des conditions moins adverses (véhicule à l'arrêt par exemple pour l'annulation d'écho acoustique).

Ces difficultés de réglage des paramètres de contrôle des algorithmes d'identification rendent cette procédure très coûteuse en temps de développement. Pour faire face à ce coût important, la recherche de formulations du pas d'adaptation et du facteur d'oubli prenant en compte les variations des caractéristiques du bruit d'observation a été entamée. Les informations présentes dans la littérature concernant des paramètres de contrôle variables permettent de distinguer deux types de solutions :

5 - la suite des pas d'adaptation $\{\mu_t\}$ est définie de façon récurrente dans le temps, c'est-à-dire que μ_t est calculé en fonction de $\mu_{t-1}, \dots, \mu_{t-N}$ pour une récurrence d'ordre N. Les valeurs d'initialisation sont en général liées à la puissance du signal d'observation, et elles ne tiennent pas compte explicitement des conditions de bruit. Un exemple de ce type est donné dans l'article de D.T.M. Slock, "On the Convergence Behavior of the LMS and the Normalized LMS Algorithms", IEEE Trans. on Signal Processing, vol. 41, N°9, pp.2811-2825, Septembre 1993.

15 - le pas d'adaptation est variable et dépend en général de la puissance à court terme de l'erreur résiduelle. Cette erreur introduit la notion de bruit ambiant dans la mesure où celui-ci est donné par la somme de l'erreur d'identification proprement dite et du bruit d'observation. Néanmoins, ce pas d'adaptation ne permet pas de distinguer l'importance relative du bruit d'observation et celle de l'erreur d'identification. Un exemple de ce type est donné dans l'article de H. Pérez Meana et al., "A Time Varying Step Size Normalized LMS Echo Canceller Algorithm", Proc. of EUSIPCO-94, pp. II-249 - II-252, Edimburg, Ecosse, Septembre 1994.

Ainsi, aucune solution satisfaisante au problème ci-dessus exposé n'a pu être identifiée dans la littérature.

La présente invention a pour but de proposer une telle solution.

L'invention propose ainsi un procédé d'identification adaptative pour estimer la réponse d'un système à un signal d'entrée, dans lequel on reçoit d'une part le signal d'entrée et d'autre part un signal d'observation dont une composante est ladite réponse au signal d'entrée, on détermine un signal d'erreur en soustrayant du signal d'observation le signal d'entrée filtré par un filtre d'identification à réponse impulsionnelle finie représentative de la réponse dudit système, et on adapte les coefficients du filtre d'identification en tenant compte du signal d'entrée, du signal d'erreur et d'un pas d'adaptation. Selon l'invention, on fait varier la valeur du pas d'adaptation μ_t selon :

$$\mu_t = \frac{a}{c + d \cdot P2_t / P1_t} \quad (3)$$

où a, c et d désignent des constantes positives, $P1_t$ désigne une estimation à l'instant considéré de la puissance du signal d'entrée et $P2_t$ désigne une estimation à l'instant considéré de la puissance du signal d'observation ou d'une composante de perturbation dudit signal d'observation.

L'expression (3) permet d'ajuster de façon automatique le pas d'adaptation μ_t aux conditions de bruit auxquelles est soumis le système.

Si l'on suppose le bruit additif, le signal d'observation est donné par la somme du signal de sortie du système à identifier et du bruit d'observation. Si $P2_t$ est la puissance du signal d'observation, l'expression (3) permet d'obtenir une valeur proche de $a/(c+d\gamma)$ ou γ est un majorant du module au carré de la fonction de transfert du système à identifier, lorsque la puissance du bruit ou de la perturbation est faible devant celle du signal d'entrée (et donc devant celle du signal de sortie), et inversement une valeur d'autant plus proche de 0 que le niveau de bruit est important (le filtre d'identification doit être faiblement adapté en présence de bruit important). Si $P2_t$ est la puissance de la composante de perturbation, l'expression (3)

fournit une valeur de μ proche de a/c lorsque la puissance du bruit ou de la perturbation est faible devant celle du signal d'entrée, et une valeur proche de 0 lorsque le niveau de bruit est important. En pratique, les constantes a , c et d sont choisies de sorte que la plage de variation du pas d'adaptation corresponde au domaine de stabilité de l'algorithme utilisé. Dans le cas, par exemple, de l'utilisation du NLMS sur du bruit blanc, le choix $a=c$ permet d'obtenir un pas d'adaptation proche de 1 (valeur optimale pour la convergence dans ce cas) lorsque la puissance du bruit d'observation est faible devant celle du signal d'entrée du système à identifier.

Lorsque l'algorithme d'adaptation utilisé tient compte d'un facteur d'oubli on peut également, selon l'invention, faire varier ce facteur d'oubli λ_t selon :

$$\lambda_t = 1 - \frac{\mu_t}{\alpha L} \quad (4)$$

où μ_t désigne le pas d'adaptation variable et αL désigne une constante positive.

Lorsque l'algorithme d'adaptation ne tient pas explicitement compte d'un pas d'adaptation mais seulement d'un facteur d'oubli λ_t , celui-ci peut avoir une valeur qu'on fait varier conformément à une relation correspondant à une concaténation des formules (3) et (4), soit :

$$\lambda_t = 1 - \left(\frac{a}{c + d \cdot P2_t / P1_t} \right) / \alpha L. \quad (5)$$

L'expression (4) ou (5) permet elle aussi d'ajuster de façon automatique le facteur d'oubli λ_t de l'algorithme aux conditions de bruit d'observation.

Ainsi, ce facteur d'oubli tend vers $[1 - a / ((c + d\gamma)\alpha L)]$ (ou vers $[1 - a / c\alpha L]$), lorsque la puissance de bruit est faible devant celle du signal d'entrée, et inversement vers 1 lorsque le niveau de bruit croît. Ce dernier aspect peut s'expliquer par le manque de fiabilité des estimateurs

d'énergie à court terme en présence de bruit important et donc par la nécessité d'accroître la mémoire de ces estimateurs pour exploiter des informations à plus long terme.

5 Un second aspect de l'invention concerne un dispositif d'identification adaptative d'un système auquel est appliqué un signal d'entrée comprenant :

- une première entrée recevant le signal d'entrée ;
- une seconde entrée recevant un signal d'observation
10 dont une composante est une réponse dudit système au signal d'entrée ;

- un filtre d'identification à réponse impulsionnelle finie représentative de la réponse dudit système ;

- un soustracteur produisant un signal d'erreur en
15 soustrayant du signal d'observation le signal d'entrée filtré par le filtre d'identification ;

- des moyens d'adaptation des coefficients du filtre d'identification en fonction du signal d'entrée, du signal d'erreur et d'un pas d'adaptation et/ou d'un facteur
20 d'oubli ;

- des premiers moyens d'estimation de la puissance du signal d'entrée;

- des seconds moyens d'estimation de la puissance du signal d'observation ou d'une composante de perturbation
25 dudit signal d'observation ; et

- des moyens de calcul du pas d'adaptation et/ou du facteur d'oubli fourni(s) aux moyens d'adaptation.

Si l'adaptation fait appel à un pas d'adaptation μ_t , celui-ci varie selon la formule (3) ci-dessus. Si
30 l'adaptation fait appel à un facteur d'oubli λ_t , celui-ci varie selon la formule (4) ou (5) ci-dessus.

Un tel dispositif peut notamment faire partie d'un annuleur d'écho adaptatif. Un annuleur d'écho adaptatif enlève d'un signal de retour des composantes d'écho d'un
35 signal direct. La première entrée du dispositif d'identification adaptative reçoit le signal direct en tant

que signal d'entrée, tandis que la seconde entrée reçoit le signal de retour. Le signal d'erreur constitue le signal de sortie de l'annuleur d'écho.

5 D'autres particularités et avantages de la présente invention apparaîtront dans la description ci-après d'exemples de réalisation préférés mais non limitatifs, en référence aux dessins annexés, dans lesquels :

10 - la figure 1 est un schéma synoptique d'un dispositif d'identification adaptative selon l'invention ; et

- la figure 2 est un schéma synoptique d'un annuleur d'écho adaptatif selon l'invention.

La figure 1 montre un système à identifier 10 auquel est appliqué un signal x_t variant dans le temps. On note z_t la réponse du système 10 au signal d'entrée x_t . La mesure de la réponse z_t s'accompagne inévitablement de l'adjonction d'une composante de perturbation b_t appelée bruit d'observation. Ce bruit d'observation b_t peut comprendre du bruit à proprement parler (bruit blanc ou bruit routier par exemple), mais également du signal utile. La composante b_t est appelée bruit d'observation dans la mesure où elle perturbe l'observation de la réponse z_t . L'additionneur 12 symbolise sur la figure 1 l'adjonction de la composante de perturbation b_t , supposée additive, à la réponse z_t . Le signal d'observation mesuré y_t est ainsi la réponse d'un système réel 14 incluant le système à identifier 10 et l'additionneur 12.

Le dispositif d'identification adaptative 16 reçoit le signal d'entrée x_t sur une première entrée E1, et le signal d'observation y_t sur une seconde entrée E2. Les signaux x_t et y_t sont amplifiés, filtrés et numérisés à l'entrée du dispositif 16 par des éléments classiques non représentés.

Le dispositif d'identification adaptative 16 comporte un filtre d'identification 18 consistant en un filtre programmable à réponse impulsionnelle finie. Les coefficients du filtre d'identification 18 sont adaptés pour que ce filtre

soit représentatif de la réponse du système à identifier 10.
Le filtre 18 reçoit le signal d'entrée numérisé x_t , et
délivre une estimation \hat{z}_t de la réponse z_t du système 10.

Un soustracteur 20 retranche cette estimation \hat{z}_t du
5 signal d'observation numérisé y_t pour fournir un signal
d'erreur e_t . Ce signal d'erreur e_t peut être vu comme une
estimation de la composante de perturbation b_t .

Une unité 22 de mise à jour du filtre d'identifi-
cation adapte les coefficients du filtre 18 sur la base du
10 signal d'entrée x_t et du signal d'erreur e_t . L'unité 22 prend
en compte pour l'adaptation un pas d'adaptation μ_t , et/ou un
facteur d'oubli λ_t . Conformément à l'invention, le pas
d'adaptation μ_t et, le cas échéant, le facteur d'oubli λ_t
sont variables en fonction du signal d'entrée et du signal
15 d'observation.

Le dispositif d'identification adaptative 16 comporte
une unité 24 qui calcule une estimation $P1_t$ de la puissance
du signal d'entrée x_t , et une unité 26 qui calcule une esti-
20 mation $P2_t$ soit de la puissance du signal d'observation y_t ,
soit de la puissance de la composante de perturbation b_t du
signal d'observation y_t . Une unité 28 calcule le pas d'adap-
tation μ_t et, le cas échéant, le facteur d'oubli λ_t en
fonction des estimations de puissance $P1_t$ et $P2_t$, et les
fournit à l'unité 22 de mise à jour du filtre d'identifi-
25 cation. Le pas d'adaptation μ_t est calculé selon la formule:

$$\mu_t = \frac{a}{c + d \cdot P2_t / P1_t}$$

où a , c et d désignent des constantes positives.

Si l'algorithme de mise à jour mise en oeuvre par
30 l'unité 22 fait appel à un facteur d'oubli λ_t , celui-ci est
calculé par l'unité 28 selon la formule :

$$\lambda_t = 1 - \frac{\mu_t}{\alpha L}$$

où α_L désigne une constante positive égale au produit d'un coefficient α par la longueur L , exprimée en nombres d'échantillons, de la réponse impulsionnelle du filtre d'identification 18 utilisé.

5 L'unité 22 de mise à jour du filtre d'identification met par exemple en oeuvre l'algorithme du gradient stochastique normalisé (NLMS) dont les équations (1) et (2bis) ont été rappelées en introduction. Un autre exemple d'algorithme d'adaptation utilisable est l'algorithme de
10 projection affine (APA) d'ordre 2, dont les équations sont :

$$U_{L,t} = X_{L,t} - \frac{\langle X_{L,t}, X_{L,t-1} \rangle}{\|X_{L,t-1}\|^2} X_{L,t-1} \quad (6)$$

$$15 \quad H_{L,t} = H_{L,t-1} + \mu_t \left[\frac{e_t}{\langle U_{L,t}, X_{L,t} \rangle} \right] U_{L,t} \quad (7)$$

Le pas d'adaptation variable et/ou le facteur d'oubli variable peuvent également être utilisés avec divers autres
20 algorithmes d'adaptation pouvant être mis en oeuvre par l'unité 22.

Le facteur d'oubli λ_t , lorsqu'il est utilisé, sert généralement au calcul de produits scalaires tels que par exemple ceux prévus dans l'équation (6) dans le cas de
25 l'algorithme APA d'ordre 2. Les produits scalaires sont alors calculés de façon récursive sur une fenêtre exponentielle caractérisée par la valeur du facteur d'oubli :

$$\langle X_{L,t}, X_{L,t-1} \rangle = \lambda_t \langle X_{L,t-1}, X_{L,t-2} \rangle + x_t x_{t-1} \quad (8)$$

ou

$$30 \quad \langle X_{L,t}, X_{L,t-1} \rangle = \lambda_t \langle X_{L,t-1}, X_{L,t-2} \rangle + (1-\lambda_t) x_t x_{t-1} \quad (8bis)$$

et

$$\|X_{L,t-1}\|^2 = \lambda_t \|X_{L,t-2}\|^2 + x_{t-1}^2 \quad (9)$$

ou

$$\|X_{L,t-1}\|^2 = \lambda_t \|X_{L,t-2}\|^2 + (1-\lambda_t) x_{t-1}^2 \quad (9bis)$$

L'expression (9) ou (9bis) peut également être utilisée pour calculer $\|x_{L,t}\|^2$ (équation (2bis)) dans le cas de l'algorithme NLMS. La valeur du coefficient α servant au calcul du facteur d'oubli variable λ_t dépend de l'algorithme d'adaptation utilisé. La valeur $\alpha=1$ convient en général pour les algorithmes de type gradient ou de projection, tandis que $\alpha=3$ convient pour les algorithmes de type MCRR.

Un exemple d'algorithme d'adaptation mettant en oeuvre uniquement le facteur d'oubli variable λ_t (défini par l'équation (5) avec $\alpha=3$) est l'algorithme RLS (Recursive Least Squares ou MCR pour Moindres Carrés Récursifs) à oubli exponentiel donné par les équations (10) à (15) suivantes :

. Initialisation :

$$R_{L,0}^{-1} = c \cdot I_L$$

c étant un réel positif et I_L la matrice identité de dimension $L \times L$.

. Acquisition de x_t et y_t ; mémorisation de x_t

. Calcul du gain de Kalman :

- Calcul d'un vecteur $K_{L,t}$ et d'un scalaire $k_{L,t}$ intermédiaires :

$$K_{L,t} = R_{L,t-1}^{-1} \cdot X_{L,t} \quad (10)$$

$$k_{L,t} = \lambda_t + \langle K_{L,t}, X_{L,t} \rangle \quad (11)$$

- Calcul du gain de Kalman :

$$C_{L,t} = -\frac{1}{k_{L,t}} K_{L,t} \quad (12)$$

. Mise à jour de l'inverse de la matrice d'autocorrélation :

$$R_{L,t}^{-1} = \frac{1}{\lambda_t} \left(R_{L,t-1}^{-1} - \frac{1}{k_{L,t}} |K_{L,t}|^2 \right) \quad (13)$$

. Filtrage :

$$e_t = y_t - \langle H_{L,t-1}, x_{L,t} \rangle \quad (14)$$

. Adaptation :

$$H_{L,t} = H_{L,t-1} - e_t \cdot C_{L,t} \quad (15)$$

5 Bien qu'on ait fait référence ci-dessus à des algorithmes temporels, l'invention est également applicable avec des algorithmes fréquentiels, c'est-à-dire dans lesquels les signaux sont convertis dans le domaine fréquentiel (par
10 exemple par transformée de Fourier), filtrés dans le domaine fréquentiel par un filtre programmable, puis ramenés dans le domaine temporel par transformée de Fourier inverse. Dans ce cas, les signaux d'entrée x_t correspondent à des composantes fréquentielles du signal d'origine obtenues par transformée
15 de Fourier ou filtrage en sous-bande, et les puissances $P1_t$, $P2_t$ représentent les puissances correspondantes. On note que les coefficients μ_t et/ou λ_t ainsi obtenus sont généralement différents à l'égard des différentes composantes fréquentielles.

20 La figure 2 montre un annuleur d'écho adaptatif incorporant un dispositif d'identification adaptative 16 du type décrit en référence à la figure 1. L'annuleur d'écho est associé à une installation téléphonique mains-libres. Le signal d'entrée x_t est le signal direct destiné au haut-parleur 11 de l'installation mains-libres. Le signal d'observation y_t est le signal de retour recueilli par le microphone
25 13 de l'installation mains-libres. Ce signal d'observation y_t inclut des composantes d'écho z_t du signal direct, et des composantes de perturbation b_t pouvant inclure du bruit et de la parole émise par le locuteur. Le système à identifier consiste en le ou les trajets d'écho entre le haut-parleur 11 et le microphone 13.

30 Dans son application à un annuleur d'écho adaptatif, le système d'identification adaptative 16 comporte un détecteur d'activité vocale 30 qui indique si le signal
35

direct x_t est vocalement actif ou inactif. De tels détecteurs d'activité vocale sont classiquement utilisés dans les annuleurs d'écho. L'unité 22 ne procède à la mise à jour de filtres d'identification 18 que lorsque le signal direct x_t supporte une activité vocale.

Pour estimer la puissance $P1_t$ du signal d'entrée x_t , l'unité 24 utilise une fenêtre exponentielle dont la constante de temps est liée à la grandeur $\gamma = 1-1/L$:

$$P1_t = \gamma \cdot P1_{t-1} + x_t^2 \quad (16)$$

ou

$$P1_t = \gamma P1_{t-1} + (1-\gamma)x_t^2 \quad (16bis)$$

où x_t représente l'échantillon du signal d'entrée à l'instant t .

La même fenêtre exponentielle peut être utilisée par l'unité 26 pour calculer l'estimation $P2_t$. Si $P2_t$ représente une estimation de la puissance du signal d'observation, celle-ci est donnée par

$$P2_t = \gamma \cdot P2_{t-1} + y_t^2 \quad (17)$$

ou

$$P2_t = \gamma \cdot P2_{t-1} + (1-\gamma)y_t^2 \quad (17bis)$$

où y_t est l'échantillon du signal de retour à l'instant t . Si l'estimation $P2_t$ représente la puissance de la composante de perturbation du signal d'observation, l'unité 26 met en oeuvre la même formule (17) ou (17bis), mais uniquement aux instants où le détecteur d'activité vocale 30 indique que le signal direct est vocalement inactif.

L'annuleur d'écho selon l'invention a l'avantage d'être relativement robuste à l'égard du phénomène de double parole (cas où la parole locale se superpose au signal d'écho). La situation de double parole conduit à augmenter l'estimation de puissance $P2_t$, et donc à diminuer la valeur du pas d'adaptation μ_t . L'ajustement automatique du pas d'adaptation μ_t permet ainsi de limiter l'importance de l'adaptation en situation de double parole, sans qu'il soit indispensable de détecter spécialement ces situations de

double parole. Les essais effectués en laboratoire ont pu confirmer les bonnes performances de l'annuleur d'écho en situation de double parole.

En pratique, l'annuleur d'écho selon l'invention peut
5 être réalisé en programmant un processeur spécialisé pour le traitement du signal (DSP) comme il est usuel. Il peut être également réalisé au moyen d'un circuit intégré spécifique (ASIC) dédié à cette application.

Les inventeurs ont pu vérifier l'amélioration des
10 performances que procure le procédé selon l'invention dans un annuleur d'écho. Par exemple, en faisant varier le pas d'adaptation μ_t et le facteur d'oubli λ_t selon les relations (3) et (4), avec $P2_t$ représentant la puissance de la composante de perturbation du signal d'observation, et avec
15 le choix de paramètres $a=c=20$, $d=L=256$ pour une fréquence d'échantillonnage de 8kHz, on peut observer que l'algorithme APA d'ordre 2 fournit une augmentation significative de l'atténuation de l'écho (ERLE : "Echo Return Loss Enhancement") par rapport au même algorithme utilisant un pas d'adaptation fixe, particulièrement en présence d'un fort
20 bruit environnant. Les inventeurs ont également vérifié qu'on obtient une moindre perturbation des performances de l'annuleur d'écho en situation de double parole qu'en utilisant un pas d'adaptation fixe. Ceci peut par exemple
25 être observé avec l'algorithme APA d'ordre 2 en faisant varier le pas d'adaptation μ_t et le facteur d'oubli λ_t selon les relations (3) et (4), avec $P2_t$ représentant la puissance du signal d'observation, et avec le choix de paramètres $a=2,5$, $c=10$, $d=80$, $L=256$ pour une fréquence d'échantillonnage
30 de 8 kHz.

Le procédé et le dispositif d'identification adaptative selon l'invention permettent d'améliorer les performances des systèmes d'identification adaptative en environnement bruité. La technique présentée résout la
35 problématique fréquemment posée par le choix des paramètres pour le contrôle de ces systèmes dans des environnements dont

les caractéristiques du bruit varient au cours du temps. Parmi ces environnements fréquemment rencontrés en pratique, on peut citer la variation du niveau de bruit capté à l'intérieur d'un véhicule lorsque ses vitres sont ouvertes ou fermées ou bien encore lors d'un croisement d'un véhicule en sens inverse.

Il est important de noter que ce choix de paramètres était, jusqu'à présent, réalisé de manière empirique en laboratoire et en considérant les conditions les plus adverses. L'invention constitue une avancée considérable dans la mesure où ces mêmes paramètres sont ajustés automatiquement et de manière adaptative en fonction des conditions de bruits rencontrées.

Ce dispositif permet en outre d'accroître significativement les performances de ces systèmes d'identification en situation de double parole, ce qui simplifie de façon considérable les mécanismes de contrôle associés à ces systèmes d'identification.

D'autre part, bien que l'invention ait été décrite dans son application à l'annulation d'écho acoustique dans le contexte des radiocommunications avec les mobiles, elle peut également être utilisée dans tout système d'identification adaptative (égalisation de canaux de propagation, annulation d'écho électrique pour la téléphonie, commandes automatiques de procédé pour la gestion de production,...).

La pluralité des domaines d'application de l'invention décrite ci-avant ne fait qu'accroître son avantage majeur, à savoir l'amélioration très significative des performances des systèmes d'identification adaptative obtenue par un dispositif automatique et adaptatif, et ce au sein d'environnements dont les caractéristiques de bruit varient au cours du temps.

REVENDICATIONS

1. Procédé d'identification adaptative pour estimer la réponse d'un système (10) à un signal d'entrée (x_t), dans lequel on reçoit d'une part le signal d'entrée et d'autre part un signal d'observation (y_t) dont une composante est ladite réponse au signal d'entrée, on détermine un signal d'erreur (e_t) en soustrayant du signal d'observation le signal d'entrée filtré par un filtre d'identification (18) à réponse impulsionnelle finie représentative de la réponse dudit système, et on adapte les coefficients du filtre d'identification en tenant compte du signal d'entrée, du signal d'erreur et d'un pas d'adaptation, caractérisé en ce qu'on fait varier la valeur du pas d'adaptation μ_t selon :

$$\mu_t = \frac{a}{c + d \cdot P2_t / P1_t}$$

où a, c et d désignent des constantes positives, $P1_t$ désigne une estimation à l'instant considéré de la puissance du signal d'entrée et $P2_t$ désigne une estimation à l'instant considéré de la puissance du signal d'observation ou d'une composante de perturbation dudit signal d'observation.

2. Procédé selon la revendication 1, caractérisé en ce que l'adaptation des coefficients du filtre d'identification (18) tient compte d'un facteur d'oubli variable λ_t de la forme :

$$\lambda_t = 1 - \frac{\mu_t}{\alpha L}$$

où μ_t désigne le pas d'adaptation variable et αL désigne une constante positive.

3. Procédé d'identification adaptative pour estimer la réponse d'un système (10) à un signal d'entrée (x_t), dans lequel on reçoit d'une part le signal d'entrée et d'autre part un signal d'observation (y_t) dont une composante est ladite réponse au signal d'entrée, on détermine un signal d'erreur (e_t) en soustrayant du signal d'observation le signal d'entrée filtré par un filtre d'identification (18)

à réponse impulsionnelle finie représentative de la réponse dudit système, et on adapte les coefficients du filtre d'identification en tenant compte du signal d'entrée, du signal d'erreur et d'un facteur d'oubli, caractérisé en ce qu'on fait varier la valeur du facteur d'oubli selon :

$$\lambda_t = 1 - \left(\frac{a}{c + d \cdot P2_t / P1_t} \right) / \alpha L$$

où a, c, d et αL désignent des constantes positives, $P1_t$ désigne une estimation à l'instant considéré de la puissance du signal d'entrée et $P2_t$ désigne une estimation à l'instant considéré de la puissance du signal d'observation ou d'une composante de perturbation dudit signal d'observation.

4. Dispositif d'identification adaptative d'un système (10) auquel est appliqué un signal d'entrée (x_t), comprenant :

- une première entrée (E1) recevant le signal d'entrée ;
- une seconde entrée (E2) recevant un signal d'observation (y_t) dont une composante est une réponse dudit système au signal d'entrée ;
- un filtre d'identification (18) à réponse impulsionnelle finie représentative de la réponse dudit système ;
- un soustracteur (20) produisant un signal d'erreur (e_t) en soustrayant du signal d'observation le signal d'entrée filtré par le filtre d'identification ; et
- des moyens (22) d'adaptation des coefficients du filtre d'identification en fonction du signal d'entrée, du signal d'erreur et d'un pas d'adaptation, caractérisé en ce qu'il comprend en outre :
 - des premiers moyens (24) d'estimation de la puissance ($P1_t$) du signal d'entrée ;
 - des seconds moyens (26) d'estimation de la puissance ($P2_t$) du signal d'observation ou d'une composante de perturbation dudit signal d'observation ; et

- des moyens (28) de calcul du pas d'adaptation fourni aux moyens d'adaptation (22), le pas d'adaptation μ_t variant selon la formule :

$$\mu_t = \frac{a}{c+d \cdot P2_t / P1_t}$$

5

où a, c et d désignent des constantes positives, $P1_t$ est l'estimation de puissance fournie par les premiers moyens d'estimation (24) et $P2_t$ est l'estimation de puissance fournie par les seconds moyens d'estimation (26).

10

5. Dispositif selon la revendication 3, caractérisé en ce que les moyens (22) d'adaptation des coefficients du filtre d'identification tiennent compte d'un facteur d'oubli variable λ_t calculé par les moyens de calcul (28) selon :

15

$$\lambda_t = 1 - \frac{\mu_t}{\alpha L}$$

où μ_t désigne le pas d'adaptation variable et αL désigne une constante positive.

20

6. Dispositif d'identification adaptative d'un système (10) auquel est appliqué un signal d'entrée (x_t), comprenant :

- une première entrée (E1) recevant le signal d'entrée ;
- une seconde entrée (E2) recevant un signal d'observation (y_t) dont une composante est une réponse dudit système au signal d'entrée ;
- un filtre d'identification (18) à réponse impulsionnelle finie représentative de la réponse dudit système ;
- un soustracteur (20) produisant un signal d'erreur (e_t) en soustrayant du signal d'observation le signal d'entrée filtré par le filtre d'identification ; et
- des moyens (22) d'adaptation des coefficients du filtre d'identification en fonction du signal d'entrée, du signal d'erreur et d'un facteur d'oubli,

35

caractérisé en ce qu'il comprend en outre :

- des premiers moyens (24) d'estimation de la puissance ($P1_t$) du signal d'entrée;

5 - des seconds moyens (26) d'estimation de la puissance ($P2_t$) du signal d'observation ou d'une composante de perturbation dudit signal d'observation ; et

- des moyens (28) de calcul du facteur d'oubli fourni aux moyens d'adaptation (22), le facteur d'oubli λ_t variant selon la formule :

$$10 \quad \lambda_t = 1 - \left(\frac{a}{c + d \cdot P2_t / P1_t} \right) / \alpha L$$

où a, c, d et αL désignent des constantes positives, $P1_t$ est l'estimation de puissance fournie par les premiers moyens d'estimation (24) et $P2_t$ est l'estimation de puissance fournie par les seconds moyens d'estimation (26).

15 7. Annuleur d'écho adaptatif pour enlever d'un signal de retour (y_t) des composantes d'écho d'un signal direct (x_t), caractérisé en ce qu'il comprend un dispositif d'identification (16) conforme à l'une quelconque des revendications 4 à 6, dont la première entrée (E1) reçoit le signal direct (x_t) en tant que signal d'entrée et dont la

20 seconde entrée (E2) reçoit le signal de retour (y_t) en tant que signal d'observation, le signal d'erreur (e_t) constituant le signal de sortie de l'annuleur d'écho.

25

FIG. 1

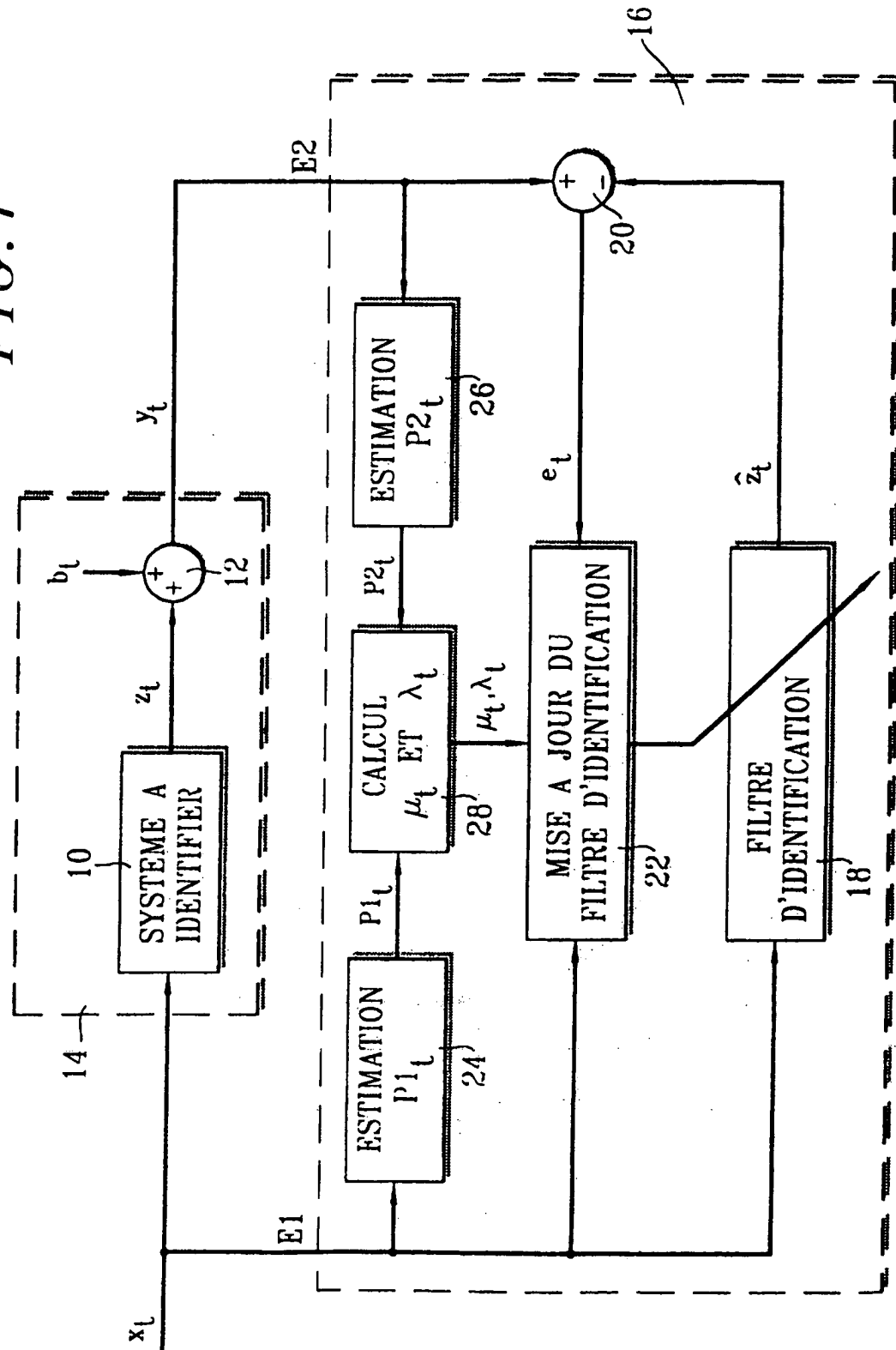
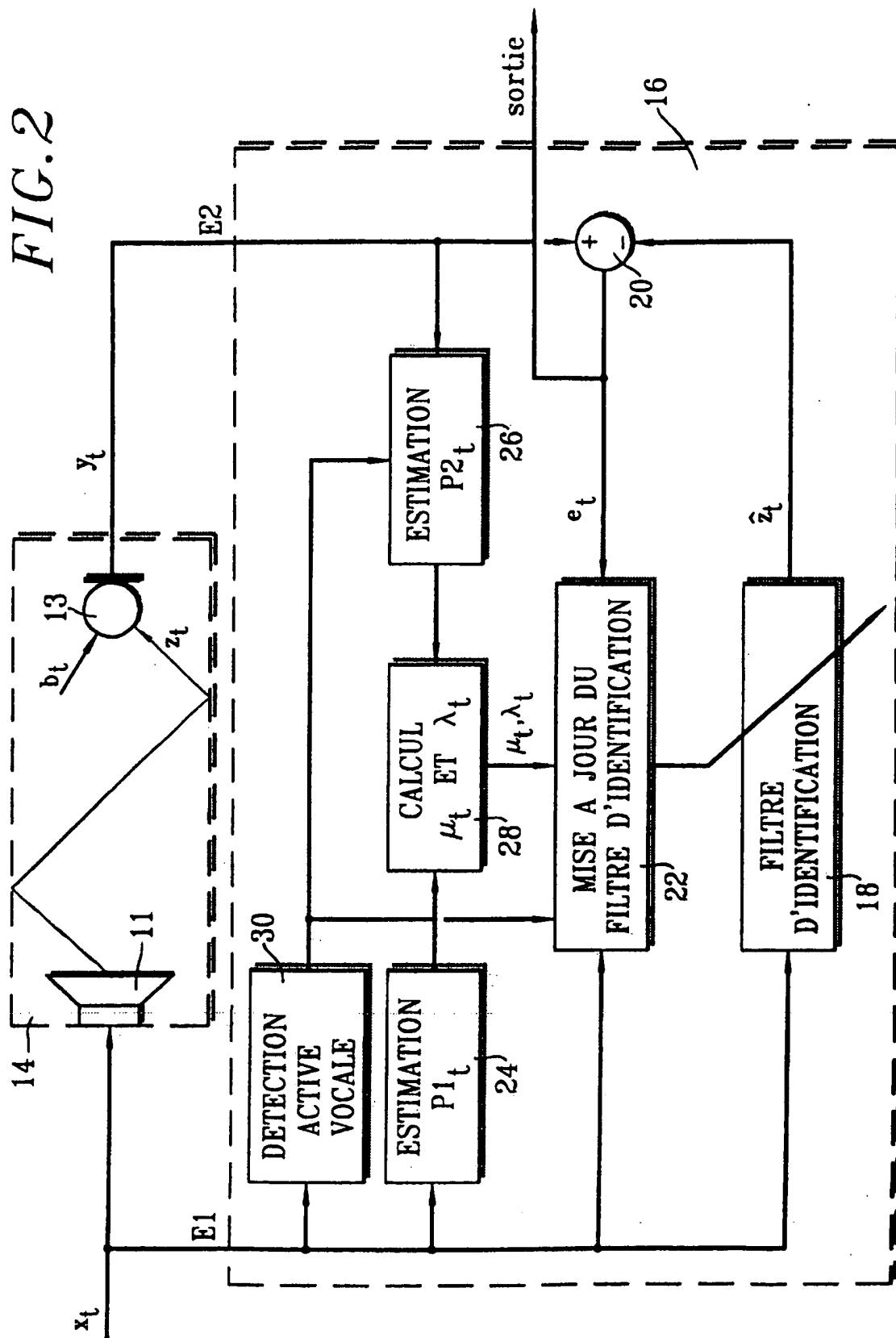


FIG. 2



RAPPORT DE RECHERCHE

articles L.612-14, L.612-17 et R.612-53 à 69 du code de la propriété intellectuelle

OBJET DU RAPPORT DE RECHERCHE

Après l'accomplissement de la procédure prévue par les textes rappelés ci-dessus, le brevet est délivré. L'Institut National de la Propriété Industrielle n'est pas habilité, sauf dans le cas d'absence **manifeste** de nouveauté, à en refuser la délivrance. La validité d'un brevet relève exclusivement de l'appréciation des tribunaux.

L'I.N.P.I. doit toutefois annexer à chaque brevet un "RAPPORT DE RECHERCHE" citant les éléments de l'état de la technique qui peuvent être pris en considération pour apprécier la brevetabilité de l'invention. Ce rapport porte sur les revendications figurant au brevet qui définissent l'objet de l'invention et délimitent l'étendue de la protection.

Après délivrance, l'I.N.P.I. peut, à la requête de toute personne intéressée, formuler un "AVIS DOCUMENTAIRE" sur la base des documents cités dans ce rapport de recherche et de tout autre document que le requérant souhaite voir prendre en considération.

CONDITIONS D'ÉTABLISSEMENT DU PRÉSENT RAPPORT DE RECHERCHE

- ☐ Le demandeur a présenté des observations en réponse au rapport de recherche préliminaire.
- ☒ Le demandeur a maintenu les revendications.
- ☐ Le demandeur a modifié les revendications.
- ☐ Le demandeur a modifié la description pour en éliminer les éléments qui n'étaient plus en concordance avec les nouvelles revendications.
- ☐ Les tiers ont présenté des observations après publication du rapport de recherche préliminaire.
- ☐ Un rapport de recherche préliminaire complémentaire a été établi.

DOCUMENTS CITÉS DANS LE PRÉSENT RAPPORT DE RECHERCHE

La répartition des documents entre les rubriques 1, 2 et 3 tient compte, le cas échéant, des revendications déposées en dernier lieu et/ou des observations présentées.

- ☐ Les documents énumérés à la rubrique 1 ci-après sont susceptibles d'être pris en considération pour apprécier la brevetabilité de l'invention.
- ☒ Les documents énumérés à la rubrique 2 ci-après illustrent l'arrière-plan technologique général.
- ☐ Les documents énumérés à la rubrique 3 ci-après ont été cités en cours de procédure, mais leur pertinence dépend de la validité des priorités revendiquées.
- ☐ Aucun document n'a été cité en cours de procédure.

1. ELEMENTS DE L'ETAT DE LA TECHNIQUE SUSCEPTIBLES D'ETRE PRIS EN CONSIDERATION POUR APPRECIER LA BREVETABILITE DE L'INVENTION	
Référence des documents (avec indication, le cas échéant, des parties pertinentes)	Revendications du brevet concernées
NEANT	
<p>2. ELEMENTS DE L'ETAT DE LA TECHNIQUE ILLUSTRANT L'ARRIERE-PLAN TECHNOLOGIQUE GENERAL</p> <p>EP-A-0 661 832 (NIPPON ELECTRIC CO) 5 Juillet 1995</p> <p>EP-A-0 176 312 (AMERICAN TELEPHONE & TELEGRAPH) 2 Avril 1986</p> <p>PATENT ABSTRACTS OF JAPAN vol. 95, no. 005 & JP-A-07 131389 (FUJITSU LTD), 19 Mai 1995,</p> <p>PATENT ABSTRACTS OF JAPAN vol. 017, no. 069 (E-1318), 10 Février 1993 & JP-A-04 271622 (NEC CORP), 28 Septembre 1992,</p>	
3. ELEMENTS DE L'ETAT DE LA TECHNIQUE DONT LA PERTINENCE DEPEND DE LA VALIDITE DES PRIORITES	
Référence des documents (avec indication, le cas échéant, des parties pertinentes)	Revendications du brevet concernées
NEANT	



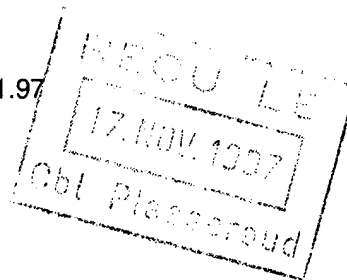
CABINET PLASSERAUD

84 RUE D AMSTERDAM
75009 PARIS

V/Ref. : BLO/SBO-DPB9501

OBJET : Brevets d'invention - Notification de la délivrance

Paris, le 14.11.97



Messieurs,

Je vous prie de bien vouloir trouver ci-joint la décision de délivrance du brevet d'invention n° **95 10714** (n° de publication 2 738 695).

Le texte de ce titre de propriété industrielle est reproduit en annexe.

Veuillez agréer l'expression de ma considération distinguée.

Le Directeur général de l'Institut
national de la propriété industrielle

D. HANGARD

INSTITUT
NATIONAL DE
LA PROPRIÉTÉ
INDUSTRIELLE

SIEGE
26 bis, rue de Saint Petersburg
75800 PARIS cedex 08
Téléphone : 01 53 04 53 04
Télécopie : 01 42 93 59 30